

УДК 539.3

© 1995 г. Н. М. МАТЧЕНКО, Л. А. ТОЛОКОННИКОВ, А. А. ТРЕЩЁВ

## ОПРЕДЕЛЯЮЩИЕ СООТНОШЕНИЯ ИЗОТРОПНЫХ РАЗНОСОПРОТИВЛЯЮЩИХСЯ СРЕД. КВАЗИЛИНЕЙНЫЕ СООТНОШЕНИЯ

Сопротивление многих конструкционных материалов деформированию зависит от вида напряженного состояния [1—4]<sup>1</sup>. Для описания зависимостей между напряжениями и деформациями таких материалов за последние 30 лет был предложен ряд модельных соотношений как в квазилинейной постановке [4—12]<sup>2</sup>, так и в нелинейной [12—16]. Однако, практически все известные модели имеют недостатки: различные аналитические представления для разных видов напряженного состояния или возникновение неопределенности закона упругости при некоторых из них [4, 5, 7—13]; наличие строгих взаимообуславливающих связей между некоррелируемыми механическими характеристиками материалов [5, 6, 8]; неудовлетворительное согласование экспериментальных и рекомендуемых расчетом диаграмм деформирования конкретных материалов при некоторых видах напряженного состояния. Последний из указанных недостатков наиболее весом, так как практически делает невозможным применение предлагаемых соотношений к описанию состояний разносопротивляющихся сред.

В публикуемой работе предложены соотношения между деформациями и напряжениями для упругих тел, механические характеристики которых зависят от вида напряженного состояния и допускающие линейную аппроксимацию экспериментальных зависимостей. На примере бетона с пределом прочности на осевое сжатие  $R^- = 33,91$  МПа [1] показано, что полученные уравнения удовлетворительно предсказывают механическое поведение квазилинейных разносопротивляющихся материалов в широком диапазоне изменений напряженного состояния. Точность этих предсказаний заметно выше, чем для большинства моделей разномодульной теории упругости [5—12].

**1. Потенциал деформаций.** Рассмотрим класс состояний изотропных разносопротивляющихся сред. При этом плотность энергии упругой деформации  $W$  будем считать функцией величины  $S_0 = (\sigma^2 + \tau^2)^{1/2}$  — модуля вектора полного напряжения на октаэдрических площадках, фазы напряжений  $\varphi$  и угла  $\psi$  между нормалью к октаэдрической площадке и направлением вектора полного напряжения  $S_0$ . Здесь  $\sigma = \sigma_{ij}\delta_{ij}/3$ ,  $\tau = (s_{ij}s_{ij}/3)^{1/2}$ ,  $s_{ij} = \sigma_{ij} - \delta_{ij}\sigma$  ( $i, j = 1, 2, 3$ ).

Положим

$$W = (b_1 + b_2\xi)\sigma^2 + (b_3 + b_4\xi + b_5\eta \cos 3\varphi)\tau^2 \quad (1.1)$$

$$\xi = \cos \psi = \sigma/S_0, \quad \eta = \sin \psi = \tau/S_0, \quad \cos 3\varphi = \sqrt{2} \det s_{ij}/\tau^3$$

где  $b_1, b_2, b_3, b_4, b_5$  — константы, подлежащие определению.

Соответствующие потенциалу  $W$  зависимости между деформациями и напряжениями имеют тензорно-нелинейный вид

$$e_{ij} = 2/3 (b_1 + b_2\xi) \sigma \delta_{ij} + 2/3 (b_3 + b_4\xi + b_5\eta \cos 3\varphi) s_{ij} + \\ + 1/3 b_3 \xi (\eta^2 \sigma \delta_{ij} - \xi^2 s_{ij}) + 1/3 b_4 \eta^2 (\eta \tau \delta_{ij} - \xi s_{ij}) +$$

<sup>1</sup> См. также: Касимов Р. Г. Прочность и деформативность бетона при трехосном сжатии: Дис. ... канд. техн. наук: М., 1976. 180 с.

<sup>2</sup> См. также: Матченко Н. М., Шерешевский Л. А., Легнау Н. А. Вариант построения уравнений разномодульной теории упругости. Тула, 1981. 7 с. Деп. в ВИНТИ 20.05.81, № 2352—81.

$$+ \frac{1}{3}b_5 [\xi^2 \eta s_{ij} \cos 3\varphi + \eta \tau \delta_{ij} (1,5\tau \theta \cos 3\varphi / \partial \sigma_{ij} - \xi \eta)] + 0,5b_5 \eta \tau^2 \theta \cos 3\varphi / \partial \sigma_{ij} \quad (1.2)$$

Следствием (1.2) являются закон изменения объема, закон изменения формы, соотношения, описывающие фазовую характеристику

$$\theta = \sigma / K_0 + \tau / D_0 \quad (1.3)$$

$$1,5\gamma = \sqrt{1 + \operatorname{tg}^2 \omega} (1,5\tau / G_0 + \sigma / D_0) \quad (1.4)$$

$$\operatorname{tg} \omega = 3b_5 \eta \sin 3\varphi / (1,5\eta / G_0 + \xi / D_0) \quad (1.5)$$

$$1/K_0 = 2b_1 + b_2 \xi (2 + \eta^2) - b_3 \eta^3 \cos 3\varphi, \quad 1/D_0 = b_4 \eta^3$$

$$1,5/G_0 = 2b_3 + \xi^3 (2b_4 - b_2) + b_5 \eta (2 + \xi^2) \cos 3\varphi$$

$$\theta = e_{ij} \delta_{ij}, \quad \gamma = (\frac{4}{3} \varepsilon_{ij} \varepsilon_{ij})^{1/2}, \quad \varepsilon_{ij} = e_{ij} - \theta \delta_{ij} / 3$$

где  $\omega$  — разность фаз напряжений и деформаций.

Заметим, что законы изменения объема (1.3) и формы (1.4) совместны. Т. е. полученные уравнения состояния (1.2) описывают дилатацию и учитывают влияние средних напряжений на формоизменение деформируемого тела в условиях простого нагружения. Влияние средних напряжений таково, что под действием гидростатического напряжения изменение формы не происходит (при  $\tau = 0$  имеем  $\gamma = 0$ ). Наличие подобных свойств у разносопротивляющихся материалов подтверждалось в ряде теоретических и экспериментальных исследований [2, 3, 5, 17, 18]<sup>3</sup>.

**2. Определение констант.** В опытах на одноосное растяжение измеряют осевое относительное удлинение  $e_1^+$ , поперечное относительное сужение  $e_2^+$ , осевую силу, вычисляют нормальные напряжения  $\sigma_1^+$  и представляют опытные данные в виде

$$\sigma_1^+ = E^+ e_1^+, \quad e_2^+ = -\nu^+ e_1^+ \quad (2.1)$$

поэтому  $E^+$ ,  $\nu^+$  — экспериментально определенные константы. Аналогично проводят опыты на одноосное сжатие и соответственно определяют константы  $E^-$ ,  $\nu^-$  из уравнений

$$\sigma_1^- = E^- e_1^-, \quad e_2^- = -\nu^- e_1^- \quad (2.2)$$

С другой стороны, обратившись к потенциалу деформаций (1.1) и учитывая, что при одноосном растяжении  $\xi = \sqrt{3}/3$ ,  $\eta = \sqrt{6}/3$ ,  $\cos 3\varphi = 1$ , а при одноосном сжатии  $\xi = -\sqrt{3}/3$ ,  $\eta = \sqrt{6}/3$ ,  $\cos 3\varphi = -1$ , уравнения состояния (1.2) приведем к виду

$$\begin{aligned} e_1^+ &= \frac{2}{9} (b_1 + \sqrt{3} b_2/3 + 2b_3 + 2\sqrt{3} b_4/3 + 2\sqrt{6} b_5/3) \sigma_1^+ \\ e_2^+ &= (b_1 + \sqrt{3} b_2 - b_3 - \sqrt{6} b_5) e_1^+ / (b_1 + \sqrt{3} b_2/3 + \\ &+ 2b_3 + 2\sqrt{3} b_4/3 + 2\sqrt{6} b_5/3) \\ e_1^- &= \frac{2}{9} (b_1 - \sqrt{3} b_2/3 + 2b_3 - 2\sqrt{3} b_4/3 - 2\sqrt{6} b_5/3) \sigma_1^- \\ e_2^- &= (b_1 - \sqrt{3} b_2 - b_3 + \sqrt{6} b_5) e_1^- / (b_1 - \sqrt{3} b_2/3 + 2b_3 - 2\sqrt{3} b_4/3 - 2\sqrt{6} b_5/3) \end{aligned} \quad (2.3)$$

Подстановка экспериментально определенных деформаций  $e_m^{\pm}$  (2.1), (2.2) в соотношения (2.3) позволяет получить четыре уравнения для вычисления четырех констант  $b_n$  потенциала (1.1). Пятую константу принято представлять через модуль сдвига  $G_1$ , полученный по результатам обработки опыта на простой сдвиг. Однако, применительно к потенциалу (1.1), эта характеристика не может быть независимой константой, так как из опытов на одноосное растяжение и одноосное сжатие имеем

$$b_3 = 0,75 [(1 + \nu^+) / E^+ + (1 + \nu^-) / E^-] \quad (2.4)$$

<sup>3</sup> См. указ. публ. Касимов Р. Г. ... с. 73.

а из опыта на простой сдвиг

$$b_3 = 0,75/G_1 \quad (2.5)$$

Таким образом, модуль сдвига  $G_1$  должен вычисляться согласно условию

$$G_1 = 1/[(1 + \nu^+)/E^+ + (1 + \nu^-)/E^-] \quad (2.6)$$

Проблему определения пятой константы можно решить используя более сложный опыт, отличный от простого сдвига и одноосных растяжений и сжатия. К настоящему времени такие эксперименты проведены лишь для небольшого класса разносопротивляющихся материалов. Поэтому целесообразным в этом плане представляется априорное вычисление пятой константы. Предположим, что формы записи закона изменения объема разносопротивляющейся среды при всестороннем равномерном сжатии и всестороннем равномерном растяжении должны совпадать с формой, вытекающей из обобщенного закона Гука. Из обобщенного закона Гука при всестороннем растяжении и всестороннем сжатии имеем

$$\theta^+ = 3(1 - 2\nu^+) \sigma^+/E^+, \quad \theta^- = 3(1 - 2\nu^-) \sigma^-/E^- \quad (2.7)$$

С другой стороны, обратившись к потенциалу деформаций (1.1), для всестороннего растяжения при  $\xi = 1, \eta = 0$  и всестороннего сжатия при  $\xi = -1, \eta = 0$  из уравнения (1.3) вытекают следующие соотношения

$$\theta^+ = 2(b_1 + b_2) \sigma^+, \quad \theta^- = 2(b_1 - b_2) \sigma^- \quad (2.8)$$

Таким образом, обрабатывая результаты экспериментов по одноосному растяжению и одноосному сжатию, а также сопоставляя выражения (2.7) и (2.8), для констант потенциала получим

$$b_1 = 0,75 [(1 - 2\nu^+)/E^+ + (1 - 2\nu^-)/E^-] \quad (2.9)$$

$$b_2 = 0,75 [(1 - 2\nu^+)/E^+ - (1 - 2\nu^-)/E^-],$$

$$b_3 = 0,75 [(1 + \nu^+)/E^+ + (1 + \nu^-)/E^-]$$

$$b_4 = 0,375 \{ \sqrt{3} (3 - 4\nu^+)/E^+ - (3 - 4\nu^-)/E^- \} -$$

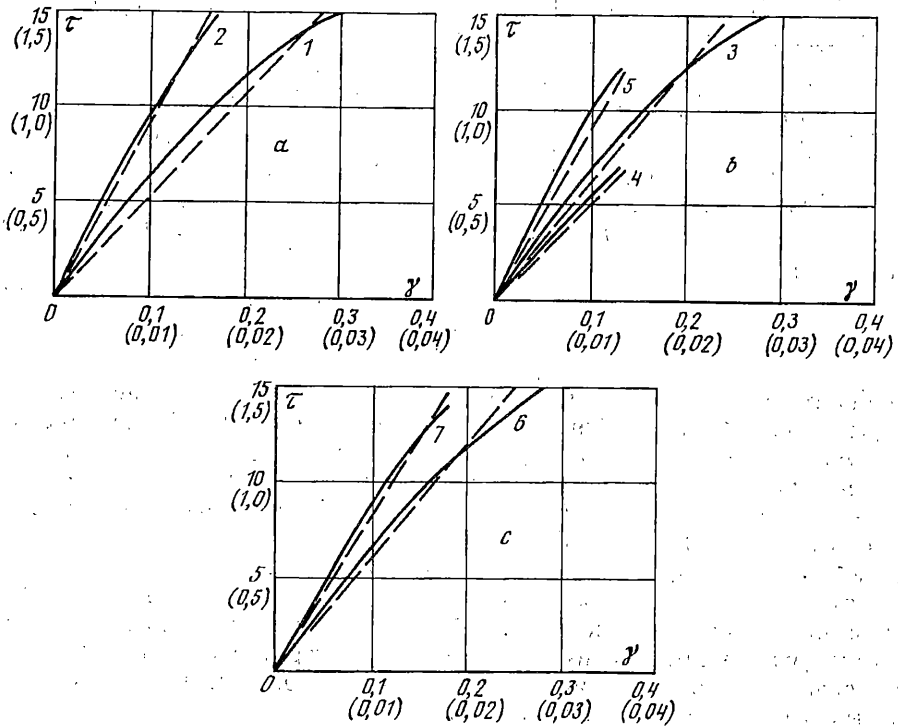
$$- 3 [(1 - 2\nu^+)/E^+ - (1 - 2\nu^-)/E^-]$$

$$b_5 = 0,75 \sqrt{2} \{ 0,5 [(1 - 2\nu^+)/E^+ - (1 - 2\nu^-)/E^-] + \sqrt{3} (\nu^+/E^+ - \nu^-/E^-) \}$$

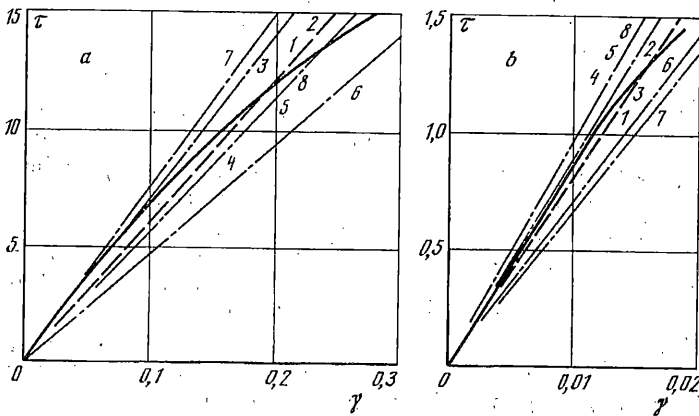
Пользуясь предложенной методикой определения констант, и ограничиваясь результатами испытаний на осевое растяжение и осевое сжатие для тяжелого бетона [1], получим  $b_1 = 4,883 \cdot 10^{-5}$  МПа<sup>-1</sup>,  $b_2 = 0,728 \cdot 10^{-5}$  МПа<sup>-1</sup>,  $b_3 = 1,0315 \cdot 10^{-4}$  МПа<sup>-1</sup>,  $b_4 = -2,59 \cdot 10^{-5}$  МПа<sup>-1</sup>,  $b_5 = -1,173 \cdot 10^{-5}$  МПа<sup>-1</sup>.

3. Оценка качества потенциала (1.1) для описания сложных напряженных состояний. Обоснованием применимости потенциала деформаций (1.1), очевидно, может служить лучшее, по сравнению с известными соотношениями, согласование расчетных диаграмм «напряжение — деформация» с экспериментальными. Кроме одноосных испытаний бетона в работе [1] приводятся сведения опытов для широкого диапазона плоских напряженных состояний, выполненных при пропорциональном нагружении. Для удобства анализа экспериментальных диаграмм [1] перестроим их в осях универсальных инвариантов  $\tau - \gamma$  (фиг. 1, сплошные кривые). Характер представленных диаграмм при различных сочетаниях главных напряжений позволяет утверждать о существенной зависимости механических характеристик бетона [1] от вида напряженного состояния. Однако, в осях инвариантов  $\sigma - \theta$  такого широкого «веера» диаграмм не наблюдается (диаграммы не приводятся). Т. е. изменение объема происходит по закону близкому к линейно-упругому.

Для оценки качества потенциала (1.1), с учетом вычисленных констант  $b_1, \dots, b_5$ , были проведены расчеты состояний бетона [1] при разных сочетаниях главных напряжений. Рассчитанные рекомендуемые диаграммы  $\tau - \gamma$



Фиг. 1



Фиг. 2

представлены на фиг. 1 в виде штриховых прямых. Очевидно, что диаграммы, приведенные на фиг. 1, *a* принимались во внимание при определении констант, а сочетание экспериментальных и расчетных диаграмм на фиг. 1, *b*, *c* может служить оценкой качества теоретических предсказаний по (1.2).

Таким образом, можно считать, что фиг. 1, *b*, *c* иллюстрируют адекватный характер потенциальных соотношений (1.1) реальным состояниям бетона [1].

Для демонстрации преимуществ потенциала деформаций (1.1) аналогичные вычисления были выполнены по формулам ряда наиболее известных моделей разномодульной теории упругости [5—12]<sup>4</sup>. Для корректности сравнения проведенных расчетов константы указанных моделей также определялись из

<sup>4</sup> См. указ. публ. Матченко Н. М. ... с. 73.

<i>N</i>	-1 : -1	-1 : -0,5	-1 : +0,25	+1 : +0,5	+1 : +1	$\Sigma K \cdot 10^2$
(1.1)	0,472	1,929	2,92	8,73	3,78	17,831
[5]	0,472	4,501	7,86	13,199	3,26	21,292
[6]	26,27	17,899	20,12	25,21	16,218	105,717
[7]	9,69	19,36	6,51	4,73	11,27	51,56
[9]	13,42	4,501	7,86	13,199	3,82	42,8
*	9,89	19,29	3,82	4,73	11,27	48,94
[11]	18,61	18,006	2,99	44,95	20,81	105,366
[12]	9,79	19,41	2,92	4,73	11,27	48,12

опытов на одноосное растяжение и одноосное сжатие, а модуль сдвига вычислялся по формуле (2.6). Рассчитанные по различным моделям [5—12] рекомендуемые диаграммы (штрих-пунктирные прямые) для двух характерных видов напряженного состояния бетона [1] ( $\sigma_1 : \sigma_2 : \sigma_3 = -1 : -1 : 0$ ;  $\sigma_1 : \sigma_2 : \sigma_3 = +1 : +1 : 0$ ) изображены на фиг. 2, *a, b*. Заметим, что параметры  $\tau$  на фиг. 1, 2 измерялись в МПа, а  $\gamma$  — в %.

Сравнительный характер аппроксимаций экспериментальных диаграмм соотношениями [5—12] и (1.2) при других видах напряженного состояния практически сохраняется. Точность аппроксимаций экспериментальных диаграмм соответствующими уравнениями оценивалась величиной критериального параметра  $K$ , представляющего собой величину относительной энергетической погрешности принятых моделей определяющих соотношений:

$$K = |U_e - U_t| / U_e \quad (3.1)$$

$$U_e = \int_0^{\gamma_p} \tau_e d\gamma_e, \quad U_t = \int_0^{\gamma_t} \tau_t d\gamma_t$$

где  $\tau_e, \gamma_e$  — октаэдрические касательные напряжения и октаэдрический сдвиг, определенные по результатам эксперимента;  $\tau_t, \gamma_t$  — тоже, но вычисленные согласно уравнениям (1.2) или по одному из вариантов соотношений [5—12];  $\gamma_p$  — деформационная граница интервала аппроксимаций.

Критериальная оценка определялась отдельно по каждому виду напряженного состояния (фиг. 1, *b, c*) и в совокупности в форме суммарного параметра  $\Sigma K$ . Критериальные оценки погрешности  $K \cdot 10^2$  для каждого варианта  $N$  определяющих соотношений и для различных видов напряженного состояния ( $\sigma_1 : \sigma_2 (\sigma_3 = 0)$ ) сведены в таблицу.

Как видно из таблицы и фиг. 2 точность уравнений (1.2) при описании зависимостей между деформациями и напряжениями для бетона [1] существенно выше ( $\Sigma K = 0,17831$ ), чем точность наиболее известных моделей разномодульной теории упругости [5—12]<sup>5</sup>.

Таким образом, можно утверждать, что предложенный потенциал деформаций (1.1) вполне применим для расчета напряженно-деформированного состояния конструкций, выполненных на основе бетона, имеющего слабо нелинейные участки диаграмм. Однако, при выходе на ветви упрочнения погрешность квазилинейных уравнений возрастает, что требует постулирования нелинейных физических соотношений.

<sup>5</sup> Звездочкой в таблице отмечены результаты, полученные в работе Матченко Н. М., цитированной на с. 73.

## СПИСОК ЛИТЕРАТУРЫ

1. *Tasuji M. E., Slate F. O., Nilson A. H.* Stress-Strain Response and Fracture of Concrete in Biaxial Loading//ACI J. Proc. 1979. V. 76. No. 7. P. 806—812.
2. *Kupfer H. B., Hilsdorf H. K., Rusch H.* Behavior of Concrete Under Biaxial Stresses//ACI J. Proc. 1969. V. 66. No. 8. P. 656—666.
3. *Леонов М. Я., Паняев В. А., Русинко К. Н.* Зависимости между деформациями и напряжениями для полухрупких тел//Инж. ж. МТТ. 1967. № 6. С. 26—32.
4. *Березин А. В., Ломакин Е. В., Строков В. И., Барабанов В. Н.* Сопротивление деформированию и разрушению изотропных графитовых материалов в условиях сложного напряженного состояния//Проблемы прочности. 1979. № 2. С. 60—65.
5. *Амбарцумян С. А.* Разномодульная теория упругости. М.: Наука, 1982. 320 с.
6. *Матченко Н. М., Толоконников Л. А.* О связи между напряжениями и деформациями в разномодульных изотропных средах//Инж. ж. МТТ. 1968. № 6. С. 108—110.
7. *Jones R. M.* Stress-Strain Relation for Materials With Different Moduli in Tension and Compression//AIAA J. 1977. V. 15. No. 1. P. 16—25.
8. *Ломакин Е. В., Работнов Ю. Н.* Соотношения теории упругости для изотропного разномодульного тела//Изв. АН СССР. МТТ. 1978. № 6. С. 29—34.
9. *Бригадиров Г. В., Матченко Н. М.* Вариант построения основных соотношений разномодульной теории упругости//Изв. АН СССР. МТТ. 1971. № 5. С. 109—111.
10. *Цвелодуб И. Ю.* К разномодульной теории упругости изотропных материалов//Динамика сплошной среды. Новосибирск: Ин-т гидродинамики СО АН СССР. 1977. Вып. 32. С. 123—131.
11. *Туровцев Г. В.* О построении определяющих уравнений для изотропных упругих сред с усложненными свойствами//Динамика сплошной среды. Новосибирск: Ин-т гидродинамики СО АН СССР. 1981. Вып. 53. С. 132—143.
12. *Шапиро Г. С.* О деформации тел, обладающих различным сопротивлением растяжению и сжатию//Инж. ж. МТТ. 1966. № 2. С. 123—125.
13. *Ломакин Е. В.* Нелинейная деформация материалов, сопротивление которых зависит от вида напряженного состояния//Изв. АН СССР. МТТ. 1980. № 4. С. 92—99.
14. *Матченко Н. М., Толоконников Л. А.* О нелинейных соотношениях разномодульной теории упругости//Сб. работ по теории упругости. Тула: Изд-во политехн. ин-та. 1968. С. 69—72.
15. *Пономарев Б. В.* Изгиб прямоугольных пластин из нелинейно-упругих материалов, неодинаково работающих на растяжение и сжатие//Прикл. механика. 1968. Т. 4. Вып. 2. С. 20—27.
16. *Петров В. В., Макеев А. Ф., Овчинников И. Г.* Изгиб прямоугольных пластин из нелинейно-упругого разносопротивляющегося растяжению и сжатию материала//Изв. вузов. Строительство и архитектура. 1980. № 8. С. 42—47.
17. *Быков Д. Л.* Основные уравнения и теории для одной модели физически нелинейной среды//Инж. ж. МТТ. 1966. № 4. С. 58—64.
18. *Козачевский А. И.* Модификация деформационной теории пластичности бетона и плоское напряженное состояние железобетона с трещинами//Строительная механика и расчет сооружений. 1983. № 4. С. 12—16.

Тула

Поступила в редакцию  
17.XII.1992